



ZAVOD ZA  
GRADBENIŠTVO  
SLOVENIJE  
SLOVENIAN  
NATIONAL BUILDING  
AND CIVIL ENGINEERING  
INSTITUTE



JAVNA AGENCIJA ZA RAZISKOVALNO DEJAVNOST  
REPUBLIKE SLOVENIJE

## Vpliv obremenitvenih parametrov na izračunane povese in napetosti steklenih plošč

Partnerji: **Univerza v Ljubljani, Fakulteta za strojništvo**

Laboratorij za numerično modeliranje in simulacije

Center za eksperimentalno mehaniko

Laboratorij za okoljske tehnologije v zgradbah

**REFLEX Gornja Radgona d.o.o.**

**Zavod za gradbeništvo Slovenije**

**Univerza v Ljubljani, Fakulteta za matematiko in fiziko**

Oznaka ARRS projekta: L2-3172

Naslov ARRS projekta: Razvoj tehničnih smernic za štirislojne zasteklitve

izr. prof. dr. Miroslav Halilovič  
vodja projekta



prof. dr. Mihael Sekavčnik  
dekan UL FS

**Partnerji:**

Univerza v Ljubljani, Fakulteta za strojništvo (UL FS)  
Laboratorij za numerično modeliranje in simulacije (LNMS)  
Center za eksperimentalno mehaniko (CEM)  
Laboratorij za okoljske tehnologije v zgradbah (LOTZ)  
Aškerčeva 6  
SI-1000 Ljubljana

REFLEX Gornja Radgona d.o.o.  
Podgrad 4  
SI-9250 Gornja Radgona

Zavod za gradbeništvo Slovenije (ZAG)  
Dimičeva ulica 12  
SI-1000 Ljubljana

Univerza v Ljubljani, Fakulteta za matematiko in fiziko  
Jadranska ulica 19  
SI-1000 Ljubljana

**Financiranje:**

Projekt je finančno podprt s strani javne agencije za raziskovalno dejavnost Republike Slovenije ARRS (raziskovalni projekt L2-3172) in podjetja Reflex d.o.o.

**Oznaka ARRS projekta:** L2-3172

**Naslov ARRS projekta:** Razvoj tehničnih smernic za štirislojne zasteklitve

**Vodja projekta:** izr. prof. dr. Miroslav Halilovič  
Tel.: (01) 4771 439  
E-mail: miroslav.halilovic@fs.uni-lj.si

---

**Naslov poročila:** Vpliv obremenitvenih parametrov na izračunane povese in napetosti steklenih plošč

**Vodja aktivnosti:** izr. prof. dr. Miroslav Halilovič

**Avtorji:**  
izr. prof. dr. Nikolaj Mole  
izr. prof. dr. Miroslav Halilovič  
doc. dr. Pino Koc  
doc. dr. Bojan Starman  
asist. dr. Andraž Maček  
dr. Primož Rus

## Kazalo

1.	Uvod .....	1
2.	Opis izračuna koeficientov .....	1
3.	MKE izračun .....	2
4.	Izračun koeficientov $k_1, k_4$ in $k_5$ .....	6
5.	Zaključek .....	9
6.	Reference.....	9

## 1. Uvod

V okviru ARRS projekta z naslovom **Razvoj tehničnih smernic za štirislojne zasteklitve** je bila opravljena primerjava v standardu EN 16612-2019 [1] podanih koeficientov, ki se uporabljajo za izračun povesa stekla, največe natezne napetosti in volumna, in koeficientov določenih na osnovi natančne numerične analize povesa stekla z metodo končnih elementov (MKE). V okviru MKE analize povesa stekla je bila opravljena konvergenčna analiza vpliva števila in oblike mreže KE. V analizi so bili uporabljeni tako volumski, kot lupinski KE. Vse MKE analize so bile izvedene upoštevajoč ravnotežje na deformirani geometriji stekla. Na ta način smo se v numeričnem MKE izračunu najbolj približali realnim razmeram v upogibno obremenjenem steklu.

## 2. Opis izračuna koeficientov

Da lahko izračunamo koeficiente  $k_1$ ,  $k_4$  in  $k_5$ , ki so v standardu [1] podani tabelično za različna razmerja stranic stekla  $\lambda$

$$\lambda = \frac{a}{b} ,$$

pri čemer  $a$  in  $b$  predstavljata širino in dolžino stekla, in v odvisnosti od brezdimenzijske obremenitve  $p^*$

$$p^* = \left( \frac{A}{4 h^2} \right)^2 \frac{q}{E} ,$$

v kateri predstavlja  $A$  ploščino stekla,  $h$  debelino stekla,  $q$  porazdeljeno obremenitev v nasprotni smeri normale na površino stekla ter  $E$  modul elastičnosti, moramo predhodno z MKE izračunati največjo natezno napetost  $\sigma_{\max}$  v obremenjenem steklu, kot posledico njenega upogibanja, največji poves  $w_{\max}$  v območju stekla ter volumen  $V$ , ki ga določa oblika upognjenega stekla.

Ob poznani največji natezni napetosti  $\sigma_{\max}$ , koeficient  $k_1$  izračunamo po enačbi

$$k_1 = \frac{h^2}{a^2} \frac{\sigma_{\max}}{q} .$$

Koeficient  $k_4$  izračunamo, upoštevajoč z MKE izračunan največji poves stekla  $w_{\max}$ , iz sledeče enačbe

$$k_4 = E \frac{h^3}{a^4} \frac{w_{\max}}{q} .$$

Na osnovi z MKE izračunane oblike upognjenega stekla lahko izračunamo volumen  $V$ , ki je potreben za izračun tlaka v posamezni komori večslojne zasteklitve. Izračunani volumen nam omogoča izračun koeficiente  $k_5$  po enačbi

$$k_5 = \frac{E}{A} \frac{h^3}{a^4} \frac{V}{q} .$$

### 3. MKE izračun

Izračun koeficientov  $k_1$ ,  $k_4$  in  $k_5$  za razmerja stranic stekla  $\lambda$  in brezdimenzijske obremenitve  $p^*$  podane v standardu [1] bazira na MKE analizi upogibno obremenjenih stekel. V MKE analizi upoštevane vrednosti razmerja stranic in brezdimenzijske obremenitve so podane v tabeli 1.

Tabela 1: V MKE analizi zajeta razmerja stranic stekla in brezdimenzijske obremenitve.

$\lambda$ [1]	1,0	0,9	0,8	0,7	0,6	0,5	0,4	0,3	0,2	0,1
$p^*$ [1]	1	2	3	5	10	20	50	100	200	300

Iz v tabeli 1 podanih podatkov izhaja 100 različnih kombinacij MKE izračunov. Da bi množico MKE izračunov poenostavili, smo za posamezno razmerje stranic stekla  $\lambda$  izbrali dimenziije, ki so nam omogočale s spremenjanjem obremenitve  $p$  določiti tudi v tabeli 1 podano brezdimenzijsko obremenitev  $p^*$ . Ker samo z variiranjem obremenitve  $q$  v območju realnih obremenitev ni mogoče določiti vseh brezdimenzijskih obremenitev, podanih v tabeli 1, smo variirali tudi debelino stekla  $h$ . V tabelah 2a-2j so podane dimenziije stekla za posamezno razmerje stranic stekla ( $a$ ,  $b$ ), njegova debelina  $h$  in obremenitev stekla  $q$  v nasprotni smeri normale na površino stekla.

Za zajem izračunanih vrednosti za obravnavanih 100 primerov iz baze rezultatov, ki so bili dobljeni z izvedbo MKE izračunov v programskem okolju Abaqus [2], je bil izdelan računalniški program v programskem okolju Wolfran Mathematica [3]. Ta program omogoča iskanje maksimalnega povesa in največje natezne napetosti. Poleg tega je na osnovi izračunanega povesa stekla z numerično integracijo po obravnavanem območju omogočal izračun volumna, ki ga določa oblika upognjenega stekla.

Mehanske lastnosti stekla so bile povzete po standardu [1], pri čemer je bil modul elastičnosti  $E$  velikosti 70 GPa, Poissonov koeficient  $\nu$  pa 0,22.

Tabela 2a: Razmerje stranic stekla  $\lambda = 1,0$   
( $a=2000$  mm,  $b=2000$  mm) .

oznaka primera	q [kPa]	h [mm]
T-1_0-1	0,286720	8
T-1_0-2	0,573440	8
T-1_0-3	0,860160	8
T-1_0-5	0,453600	6
T-1_0-10	0,907200	6
T-1_0-20	0,875000	5
T-1_0-50	0,896000	4
T-1_0-100	1,792000	4
T-1_0-200	1,134000	3
T-1_0-300	1,701000	3

Tabela 2b: Razmerje stranic stekla  $\lambda = 0,9$   
( $a=1800$  mm,  $b=2000$  mm) .

oznaka primera	q [kPa]	h [mm]
T-0_9-1	0,353975	8
T-0_9-2	0,707951	8
T-0_9-3	1,061926	8
T-0_9-5	0,560000	6
T-0_9-10	1,120000	6
T-0_9-20	1,080247	5
T-0_9-50	1,106173	4
T-0_9-100	0,700000	3
T-0_9-200	1,400000	3
T-0_9-300	2,100000	3

Tabela 2c: Razmerje stranic stekla  $\lambda = 0,8$   
(a=1600 mm, b=2000 mm) .

oznaka primera	q [kPa]	h [mm]
T-0_8-1	0,448000	8
T-0_8-2	0,896000	8
T-0_8-3	1,344000	8
T-0_8-5	0,708750	6
T-0_8-10	1,417500	6
T-0_8-20	1,367188	5
T-0_8-50	1,400000	4
T-0_8-100	0,885938	3
T-0_8-200	1,771875	3
T-0_8-300	2,657813	3

Tabela 2d: Razmerje stranic stekla  $\lambda = 0,7$   
(a=1400 mm, b=2000 mm) .

oznaka primera	q [kPa]	h [mm]
T-0_7-1	0,585143	8
T-0_7-2	1,170286	8
T-0_7-3	1,755429	8
T-0_7-5	0,925714	6
T-0_7-10	1,851429	6
T-0_7-20	1,785714	5
T-0_7-50	1,828571	4
T-0_7-100	1,157143	3
T-0_7-200	2,314286	3
T-0_7-300	3,471429	3

Tabela 2e: Razmerje stranic stekla  $\lambda = 0,6$   
(a=1500 mm, b=2500 mm) .

oznaka primera	q [kPa]	h [mm]
T-0_6-1	0,326224	8
T-0_6-2	0,652447	8
T-0_6-3	0,978671	8
T-0_6-5	0,516096	6
T-0_6-10	1,032192	6
T-0_6-20	0,995556	5
T-0_6-50	1,019449	4
T-0_6-100	0,645120	3
T-0_6-200	1,290240	3
T-0_6-300	1,935360	3

Tabela 2f: Razmerje stranic stekla  $\lambda = 0,5$   
(a=1250 mm, b=2500 mm) .

oznaka primera	q [kPa]	h [mm]
T-0_5-1	0,469762	8
T-0_5-2	0,939524	8
T-0_5-3	1,409286	8
T-0_5-5	0,743178	6
T-0_5-10	1,486356	6
T-0_5-20	1,433600	5
T-0_5-50	1,468006	4
T-0_5-100	0,928973	3
T-0_5-200	1,857946	3
T-0_5-300	2,786918	3

Tabela 2g: Razmerje stranic stekla  $\lambda = 0,4$   
(a=1200 mm, b=3000 mm) .

oznaka primera	q [kPa]	h [mm]
T-0_4-1	0,353975	8
T-0_4-2	0,707951	8
T-0_4-3	1,061926	8
T-0_4-5	0,560000	6
T-0_4-10	1,120000	6
T-0_4-20	1,080247	5
T-0_4-50	1,106173	4
T-0_4-100	0,700000	3
T-0_4-200	1,400000	3
T-0_4-300	2,100000	3

Tabela 2h: Razmerje stranic stekla  $\lambda = 0,3$   
(a=900 mm, b=3000 mm) .

oznaka primera	q [kPa]	h [mm]
T-0_3-1	0,629289	8
T-0_3-2	1,258579	8
T-0_3-3	1,887868	8
T-0_3-5	0,995556	6
T-0_3-10	1,991111	6
T-0_3-20	1,920439	5
T-0_3-50	1,966529	4
T-0_3-100	1,244444	3
T-0_3-200	2,488889	3
T-0_3-300	3,733333	3

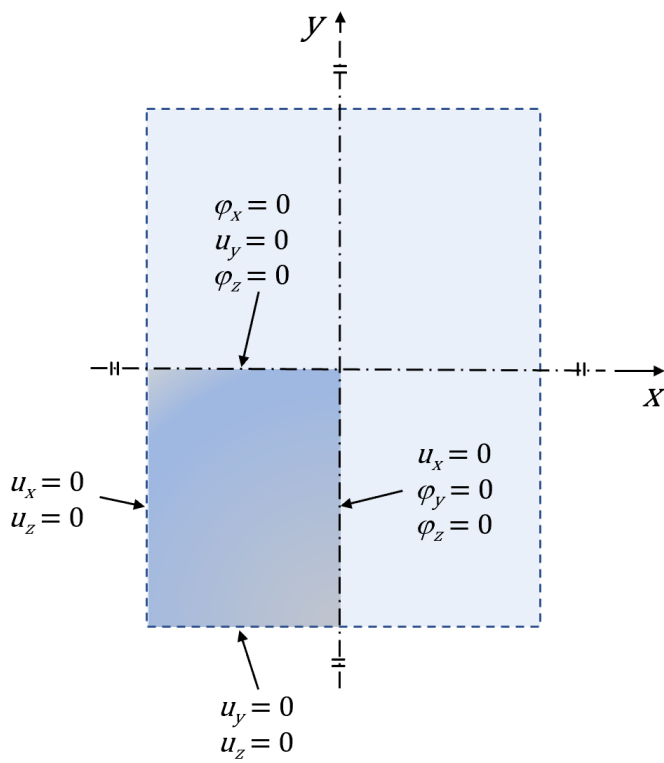
Tabela 2i: Razmerje stranic stekla  $\lambda = 0,2$   
(a=800 mm, b=4000 mm) .

oznaka primera	q [kPa]	h [mm]
T-0_2-1	0,448000	8
T-0_2-2	0,896000	8
T-0_2-3	1,344000	8
T-0_2-5	0,708750	6
T-0_2-10	1,417500	6
T-0_2-20	1,367188	5
T-0_2-50	1,400000	4
T-0_2-100	0,885938	3
T-0_2-200	1,771875	3
T-0_2-300	2,657813	3

Tabela 2j: Razmerje stranic stekla  $\lambda = 0,1$   
(a=500 mm, b=5000 mm) .

oznaka primera	q [kPa]	h [mm]
T-0_1-1	0,734003	8
T-0_1-2	1,468006	8
T-0_1-3	2,202010	8
T-0_1-5	1,161216	6
T-0_1-10	2,322432	6
T-0_1-20	2,240000	5
T-0_1-50	2,293760	4
T-0_1-100	1,451520	3
T-0_1-200	2,903040	3
T-0_1-300	4,354560	3

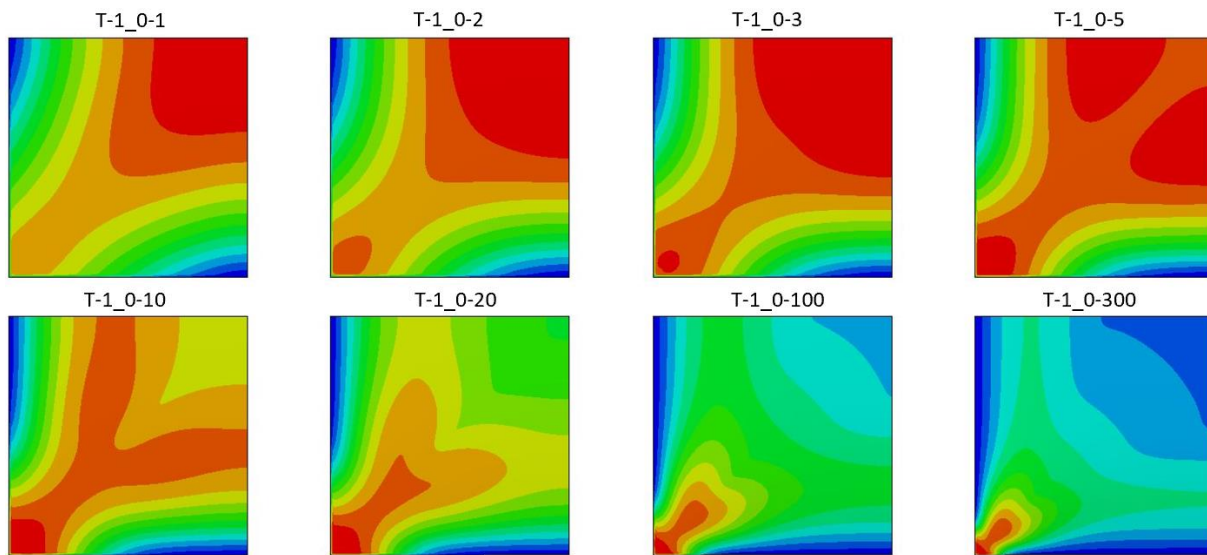
V numeričnem modelu je bilo zaradi izkazane simetričnosti analiziranega območja (slika 1) zajeto četrtrinsko območje stekla. V izračunu je bilo upoštevano členkasto podprtje zunanjih robov stekla ter simetrijski robni pogoji na simetrijskih ravninah.



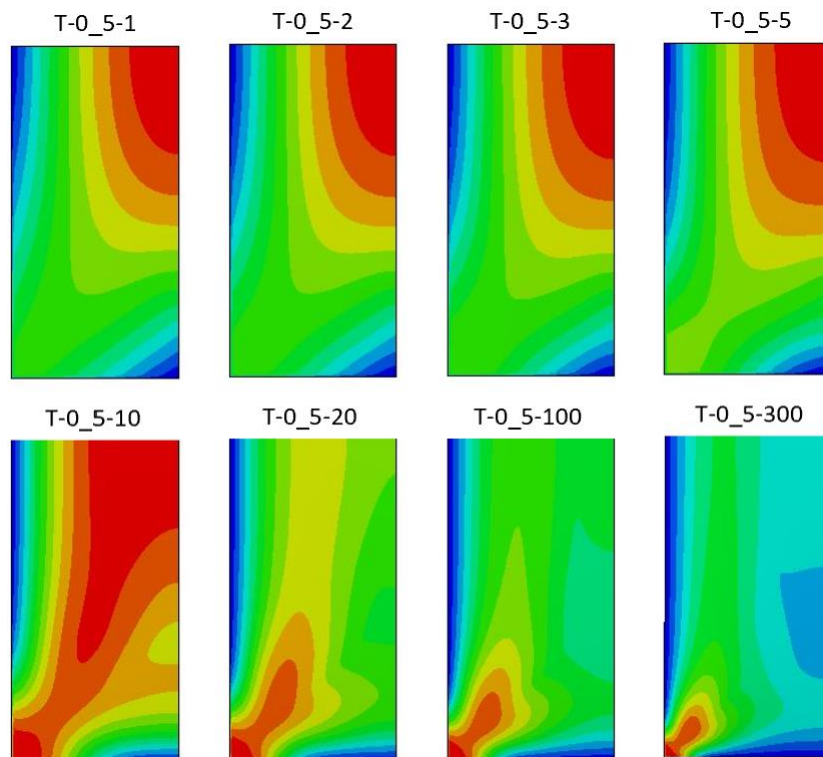
Slika 1: Obravnavano četrtrinsko območje stekla in upoštevani robni pogoji.

Za popis območja stekla so bili uporabljeni tako volumski kot lupinski KE. Iz primerjave rezultatov izračunanih z volumskimi in lupinskimi KE smo se odločili, da bo izračun, ob enaki natančnosti rešitve, izveden s štirivozliščnimi lupinskimi KE. Lupinske KE smo uporabili tudi zato, da smo lahko zadostili pogoju razmerja med karakteristično dolžino KE in debelino stekla, ki naj bil velikostnega reda 1. Mreža KE je bila enakomerno zgoščena, pri čemer je bila

karakteristična velikost KE 5 mm. Tako smo lahko v največji možni meri določili lokacijo največje natezne napetosti, ki se nahaja pri povesih velikostnega reda debeline stekla v sredini območja, pri izrazito velikih povesih, večjih od petkratnika debeline stekla, pa v vogalu območja. Prehajanje največje natezne napetosti iz sredinskega območja v vogalno je prikazano na slikah 2 in 3. Na slikah prikazano območje predstavlja četrtinško območje, ki je prikazano na sliki 1. Pri izrazito velikih povesih je območje največje natezne napetosti lokalizirano v bližino vogala, ne glede na razmerje  $\lambda$ .



Slika 2: Prikaz lokacije največje natezne napetosti (rdečeobarvano območje) za primer  $\lambda = 1,0$  in osem različnih obremenitvenih primerov ( $p^* = 1, 2, 3, 5, 10, 20, 100, 300$ ).



Slika 3: Prikaz lokacije največje natezne napetosti (rdečeobarvano območje) za primer  $\lambda = 0,5$  in osem različnih obremenitvenih primerov ( $p^* = 1, 2, 3, 5, 10, 20, 100, 300$ ).

## 4. Izračun koeficientov $k_1$ , $k_4$ in $k_5$

Upoštevajoč rezultate iz MKE analize obravnavanih primerov, je bil izveden izračun koeficientov  $k_1$ ,  $k_4$  in  $k_5$  za podana razmerja stranic stekla  $\lambda$  in brezdimenzijske obremenitve  $p^*$  (tabela 1). Izračunane vrednosti koeficientov  $k_1$ ,  $k_4$  in  $k_5$  so tabelarično podane v tabelah 3, 4 in 5.

Tabela 3: Na osnovi MKE analize izračunani koeficienti  $k_1$ .

$\lambda$	koeficient $k_1$ (MKE izračun)									
	$p^*$									
1	2	3	5	10	20	50	100	200	300	
1,0	0,267	0,232	0,205	0,177	0,161	0,148	0,137	0,132	0,128	0,127
0,9	0,313	0,272	0,237	0,197	0,178	0,164	0,152	0,146	0,142	0,140
0,8	0,370	0,324	0,282	0,229	0,199	0,184	0,170	0,164	0,159	0,157
0,7	0,438	0,392	0,347	0,280	0,225	0,208	0,192	0,185	0,179	0,177
0,6	0,516	0,478	0,436	0,366	0,266	0,236	0,219	0,211	0,205	0,203
0,5	0,597	0,575	0,546	0,487	0,380	0,273	0,252	0,244	0,238	0,235
0,4	0,671	0,664	0,654	0,626	0,549	0,431	0,290	0,285	0,281	0,279
0,3	0,725	0,724	0,723	0,721	0,708	0,653	0,495	0,357	0,330	0,331
0,2	0,748	0,748	0,748	0,748	0,750	0,756	0,755	0,693	0,563	0,473
0,1	0,750	0,750	0,750	0,750	0,750	0,750	0,751	0,754	0,757	0,757

Tabela 4: Na osnovi MKE analize izračunani koeficienti  $k_4$ .

$\lambda$	koeficient $k_4$ (MKE izračun)									
	$p^*$									
1	2	3	5	10	20	50	100	200	300	
1,0	0,0427	0,0369	0,0324	0,0264	0,0191	0,0134	0,0082	0,0056	0,0037	0,0029
0,9	0,0523	0,0454	0,0399	0,0326	0,0236	0,0166	0,0102	0,0069	0,0046	0,0036
0,8	0,0643	0,0565	0,0501	0,0412	0,0301	0,0212	0,0130	0,0089	0,0059	0,0047
0,7	0,0791	0,0711	0,0639	0,0535	0,0396	0,0282	0,0174	0,0118	0,0079	0,0062
0,6	0,0962	0,0895	0,0825	0,0710	0,0542	0,0392	0,0245	0,0167	0,0112	0,0088
0,5	0,1144	0,1104	0,1053	0,0952	0,0766	0,0573	0,0365	0,0252	0,0170	0,0134
0,4	0,1311	0,1298	0,1279	0,1228	0,1087	0,0875	0,0588	0,0414	0,0284	0,0225
0,3	0,1431	0,1431	0,1430	0,1425	0,1397	0,1293	0,1004	0,0753	0,0535	0,0431
0,2	0,1482	0,1482	0,1482	0,1483	0,1487	0,1499	0,1492	0,1377	0,1134	0,0968
0,1	0,1488	0,1488	0,1488	0,1487	0,1487	0,1487	0,1488	0,1495	0,1499	0,1496

Tabela 5: Na osnovi MKE analize izračunani koeficienti  $k_5$ .

$\lambda$	koeficient $k_5$ (MKE izračun)									
	$p^*$									
1	2	3	5	10	20	50	100	200	300	
1,0	0,0182	0,0161	0,0144	0,0121	0,0093	0,0069	0,0045	0,0032	0,0022	0,0018
0,9	0,0222	0,0197	0,0177	0,0150	0,0114	0,0085	0,0055	0,0039	0,0027	0,0022
0,8	0,0274	0,0246	0,0222	0,0189	0,0145	0,0108	0,0070	0,0050	0,0035	0,0028
0,7	0,0338	0,0309	0,0283	0,0244	0,0189	0,0141	0,0092	0,0065	0,0045	0,0037
0,6	0,0414	0,0390	0,0365	0,0322	0,0255	0,0192	0,0126	0,0090	0,0063	0,0051
0,5	0,0499	0,0485	0,0467	0,0429	0,0355	0,0274	0,0183	0,0131	0,0092	0,0074
0,4	0,0589	0,0585	0,0577	0,0556	0,0499	0,0410	0,0285	0,0207	0,0147	0,0119
0,3	0,0681	0,0680	0,0678	0,0673	0,0653	0,0602	0,0474	0,0363	0,0264	0,0215
0,2	0,0771	0,0771	0,0771	0,0770	0,0767	0,0758	0,0721	0,0653	0,0538	0,0462
0,1	0,0862	0,0862	0,0862	0,0862	0,0862	0,0861	0,0858	0,0851	0,0833	0,0812

Ključni namen MKE analize 100 različnih primerov, določenih v standardu [1], je bila verifikacija v standardu podanih koeficientov  $k_1$ ,  $k_4$  in  $k_5$ . V tabeli 6 je podano odstopanje za koeficient  $k_1$ , ki se uporablja za izračun največje natezne napetosti. Vrednosti odstopanja ležijo v intervalu  $([-13,1], (+10,9])\%$ . Pri analizi odstopanj je bilo ugotovljeno, da je odstopanje pri določenem razmerju stranic stekla  $\lambda$  pri različnih vrednostih brezdimenzijske obremenitve  $p^*$  enakega velikostnega razreda tako v »+«, kot v »-«. Glede na to, da smo v MKE analizi uporabili enak pristop v vseh obravnavanih primerih, ta ugotovitev nakazuje, da so v standardu [1] podani koeficienti izračunani na drugačen način. Ne glede na ugotovljeno, so vrednosti za koeficient  $k_1$  primerljive s standardom.

Tabela 6: Odstopanje z MKE analizo izračunanih koeficientov  $k_1$  in v standardu [1] podanih koeficientov.

$\lambda$	koeficient $k_1$ (MKE izračun) [% odstopnja od v standardu podanih koeficientov]									
	p*									
1	2	3	5	10	20	50	100	200	300	
1,0	-2,2	+4,7	+8,0	+7,0	-5,6	-9,8	-5,3	-2,0	-0,3	+1,1
0,9	-1,4	+4,8	+8,9	+9,7	-3,6	-8,2	-4,7	-1,6	+1,2	+2,6
0,8	-0,3	+5,0	+8,7	+10,9	-0,2	-6,3	-3,5	-0,9	+1,9	+3,3
0,7	-0,2	+3,9	+6,7	+9,9	+4,6	-4,4	-3,0	-0,3	+2,6	+4,1
0,6	-0,1	+2,4	+4,6	+6,5	+9,6	+0,6	-1,6	+0,5	+2,6	+4,0
0,5	-0,4	+0,8	+2,3	+3,7	+3,8	+9,7	+1,3	+1,2	+2,8	+4,1
0,4	-0,4	-0,1	+0,2	+0,8	+0,4	-0,5	+9,8	+4,0	+3,0	+3,5
0,3	-0,3	-0,3	-0,3	-0,7	-2,0	-3,8	-5,1	+8,0	+7,3	+5,2
0,2	-0,1	-0,1	-0,1	-0,1	-0,7	-2,5	-8,0	-13,1	-12,1	-3,6
0,1	+0,0	+0,0	+0,0	+0,0	+0,0	+0,0	-0,2	-0,9	-2,3	-3,8

V tabeli 7 je podano odstopanje za koeficient  $k_4$ , ki se uporablja za izračun največjega povesa stekla. Vrednosti odstopanja ležijo v intervalu  $([-17,9], (+18,3])\%$ . Pri tem lahko ugotovimo, da so večja odstopanja prisotna za vrednosti brezdimenzijske obremenitve  $p^*$  večja od 5. Do vrednosti 5 je odstopanje v intervalu  $([-7,1], (-0,5])\%$ . To nakazuje, da je v standardu [1] ravnotežje na deformirani geometriji stekla drugače upoštevano, kot v izvedeni MKE analizi. Razlika se pojavi pri velikih povesih, ko je razmerje debeline stekla proti povesu večje od pet. Primerjava vrednosti pokaže, da so v tem območju obremenjevanja povesi, izračunani s standardom, manjši od izračunanih z MKE, kar nakazuje na neustrezno upoštevanje membranskega stanja v steklu.

Tabela 7: Odstopanje z MKE analizo izračunanih koeficientov  $k_4$  in v standardu [1] podanih koeficientov.

$\lambda$	koeficient $k_4$ (MKE izračun) [% odstopnja od v standardu podanih koeficientov]									
	p*									
1	2	3	5	10	20	50	100	200	300	
1,0	-3,2	-4,3	-4,5	-3,5	-1,1	+2,0	+6,7	+10,1	+15,1	+18,3
0,9	-3,6	-4,6	-4,8	-3,8	-1,4	+1,0	+5,8	+10,3	+14,3	+17,2
0,8	-3,1	-4,7	-5,0	-4,3	-2,6	+0,3	+4,9	+8,8	+14,1	+16,7
0,7	-2,8	-4,6	-5,3	-5,4	-4,2	-1,8	+2,2	+6,8	+11,9	+14,5
0,6	-2,2	-4,3	-5,6	-6,7	-6,6	-5,1	-1,0	+2,9	+8,1	+11,7
0,5	-1,7	-3,3	-4,8	-7,1	-9,0	-8,8	-5,9	-2,0	+3,3	+6,7
0,4	-1,2	-2,0	-3,0	-5,3	-9,3	-12,0	-11,3	-8,4	-4,0	-0,6
0,3	-0,9	-1,0	-1,4	-2,4	-5,5	-10,5	-15,1	-15,1	-12,1	-9,6
0,2	-0,5	-0,5	-0,6	-0,8	-1,3	-3,2	-9,5	-15,2	-17,9	-17,7
0,1	-0,5	-0,5	-0,5	-0,5	-0,5	-0,5	-0,6	-1,2	-1,9	-2,4

V tabeli 8 je podano odstopanje za koeficient  $k_5$ , ki se uporablja za izračun volumna, ki ga določa upognjena površina stekla. Vrednosti odstopanja ležijo v intervalu  $[-16,9] \text{ , } (+24,8) \text{ \%}$ . Pri tem lahko ugotovimo, da so večja odstopanja prisotna za vrednosti brezdimenjske obremenitve  $p^*$  večja od 10. Do vrednosti 10 je odstopanje v intervalu  $[-9,6] \text{ , } (+1,9) \text{ \%}$ . To potrjuje ugotovitev pri izračunu koeficenta  $k_4$ , da je v standardu [1] ravnotežje na deformirani geometriji stekla drugače upoštevano kot v izvedeni MKE analizi. Ta razlika se pojavi pri velikih povesih, ko je razmerje debeline stekla proti povesu večje od pet. Primerjava vrednosti pokaže, da so v tem območju obremenjevanja volumni, izračunani s standardom, manjši od izračunanih z MKE.

Tabela 8: Odstopanje z MKE analizo izračunanih koeficientov  $k_5$  in v standardu [1] podanih koeficientov.

$\lambda$	koeficient $k_5$ (MKE izračun) [% odstopnja od v standardu podanih koeficientov]									
	$p^*$									
	1	2	3	5	10	20	50	100	200	300
1,0	-3,7	-5,6	-4,2	-3,6	-1,7	+1,9	+13,9	+18,9	+26,6	+19,5
0,9	-3,9	-6,1	-4,8	-3,8	-2,0	+1,4	+15,0	+18,5	+24,4	+19,0
0,8	-3,7	-5,9	-5,2	-4,8	-2,6	+0,4	+13,4	+17,2	+24,8	+18,3
0,7	-3,3	-5,6	-5,7	-5,5	-4,3	-2,0	+11,5	+15,2	+22,9	+14,9
0,6	-2,6	-5,2	-5,8	-6,9	-6,6	-4,9	+7,9	+12,0	+19,6	+11,4
0,5	-1,9	-3,7	-5,0	-7,3	-8,9	-8,8	+3,7	+7,2	+15,0	+6,3
0,4	-1,3	-2,2	-3,2	-5,4	-9,6	-11,9	-1,5	+1,4	+8,4	-0,5
0,3	-1,0	-1,2	-1,5	-2,6	-5,7	-10,6	-6,4	-5,1	+1,3	-9,2
0,2	-0,7	-0,7	-0,8	-0,8	-1,5	-3,3	-5,8	-9,0	-6,8	-16,9
0,1	-0,6	-0,6	-0,6	-0,7	-0,7	-0,6	-0,3	-0,1	+0,5	-2,4

## 5. Zaključek

Na osnovi opravljene MKE analize povesa stekla, ki je členkasto podprt po robovih, lahko zaključimo, da so v standardu [1] podani koeficienti  $k_1$ ,  $k_4$  in  $k_5$  enakega velikostnega reda, kot smo jih dobili na osnovi MKE analize. Glede na to, da so absolutna odstopanja med vrednostmi v določenih obremenitvenih primeri velikostnega reda 13-24 %, lahko sklepamo, da so z MKE analizo izračunani koeficienti bolj natančni. Razlog za to lahko tiči v zmogljivejši računalniški in programske opreme, ki je bila uporabljena v naši MKE analizi, ter v uporabljeni bolj gosti mreži KE.

## 6. Reference

- [1] European Standard EN 16612 – Glass in building – Determination of the lateral load resistance of glass panes by calculation, oktober 2019
- [2] Simulia Abaqus 2021, Dassault Systemes, 2021
- [3] Wolfram Mathematica 13.1, 2022